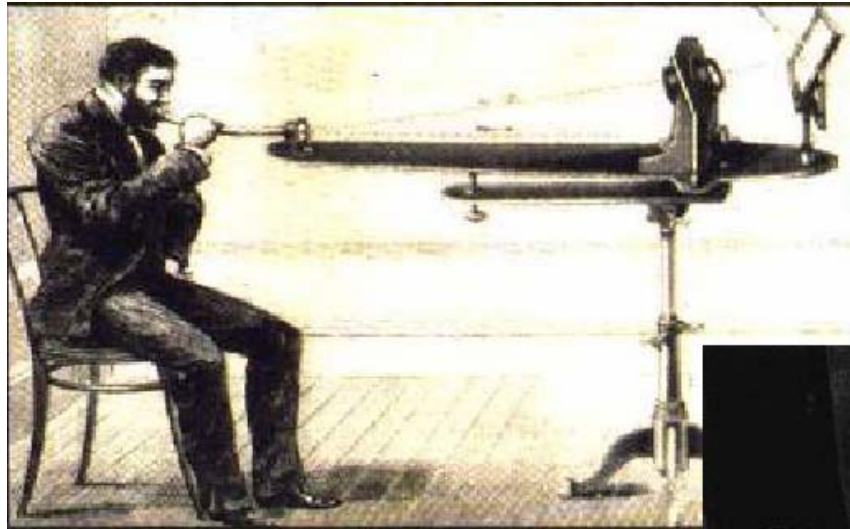


第3章 微波传输线

- 3.1 TEM, TE和TM波的一般解
- 3.2 矩形金属波导
- 3.3 圆波导
- 3.4 同轴线的高次模及单模传输
- 3.5 带状线和微带
- 3.6 介质波导

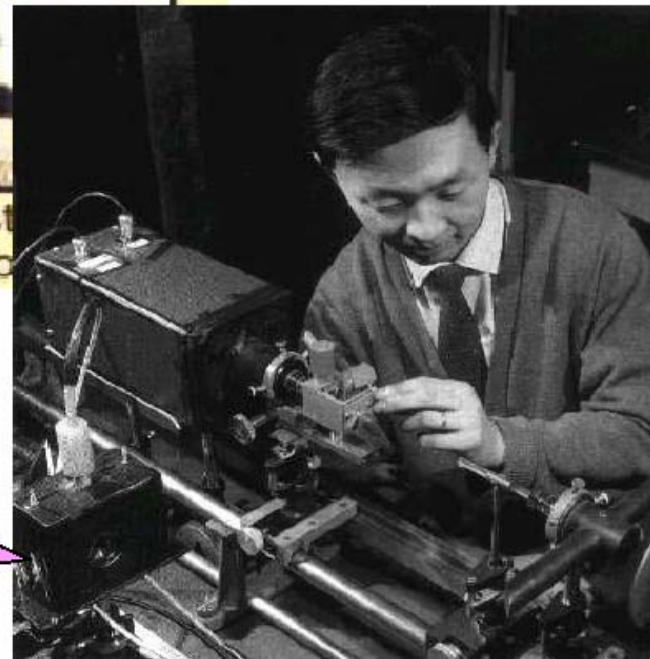
Father of Optical Fiber: Dr. Gao

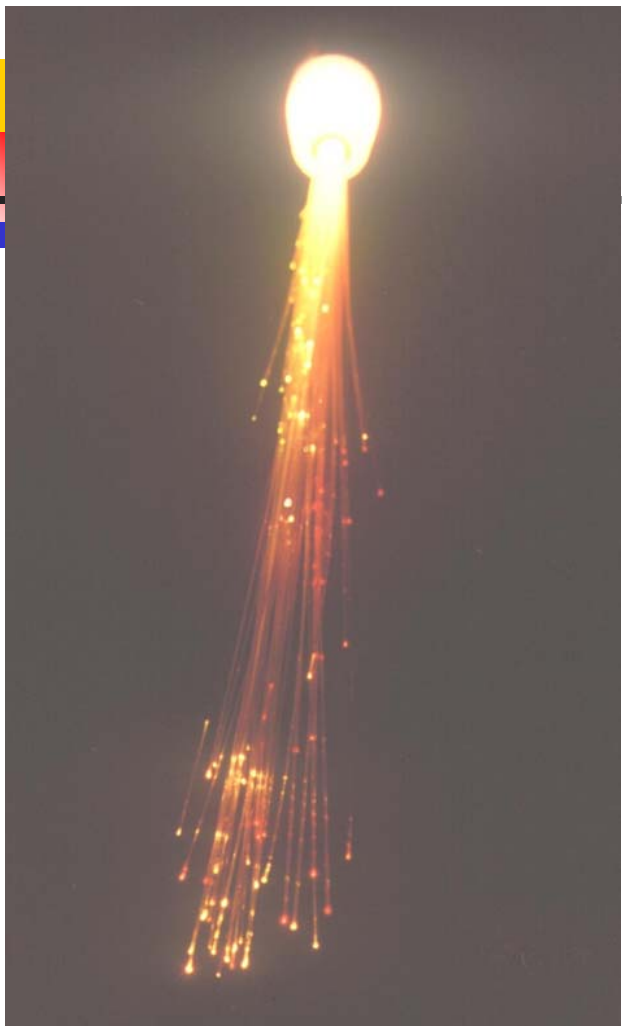


Alexander Graham Bell demonstrates voice transmission via his "photophone"

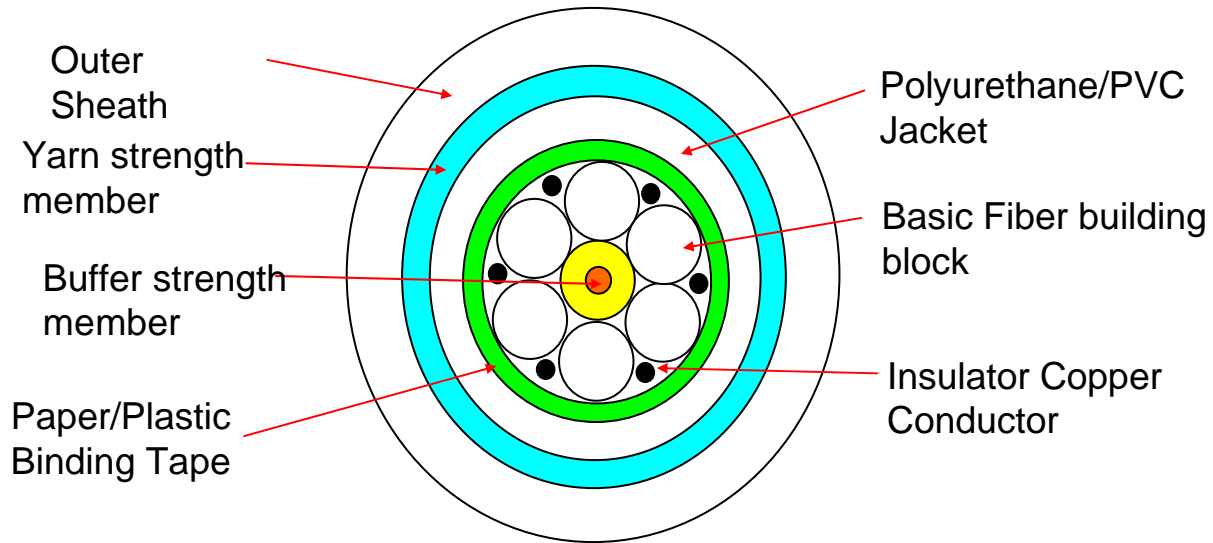
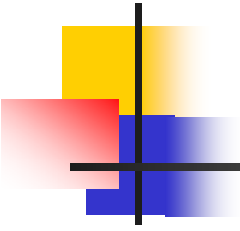
贝尔的“光话”
演示实验

“光纤之父”高锟博士在英国
STL的早期关于光纤的实验





光 导 纤 维

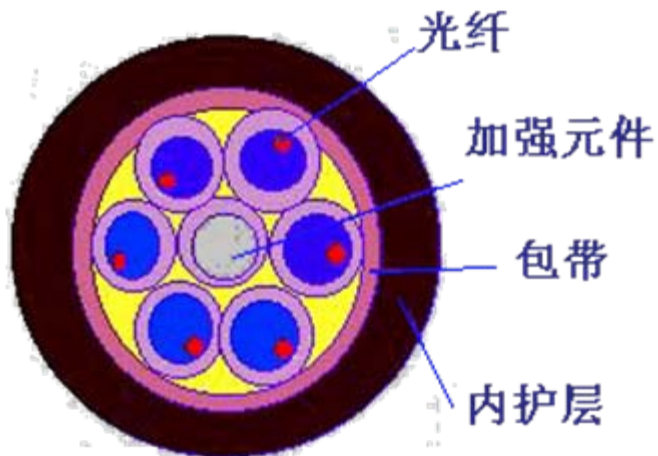


Six-fiber cable

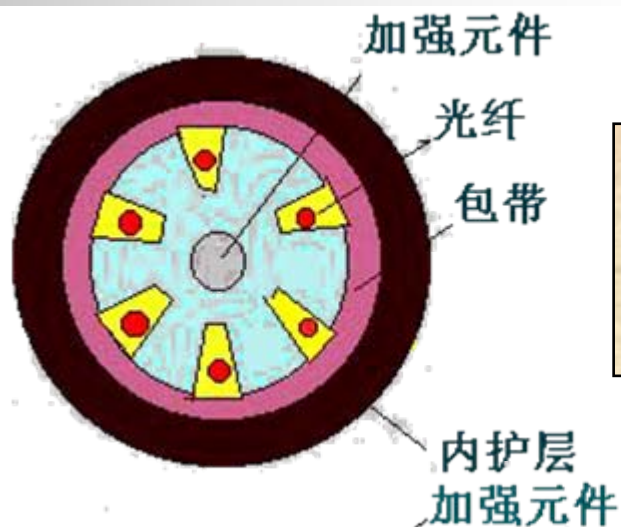


缆芯结构

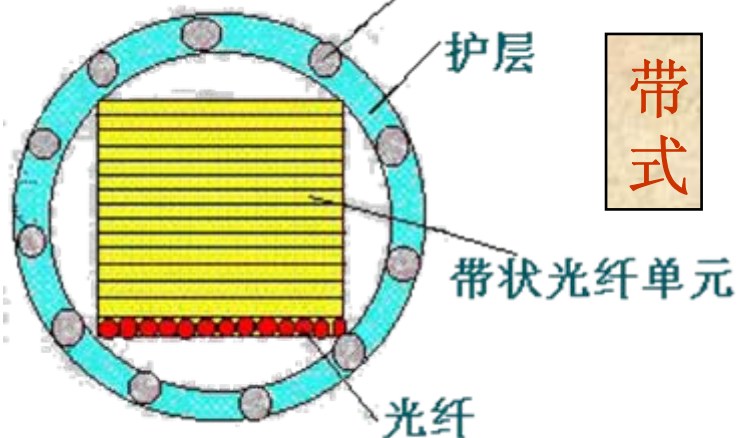
层绞式



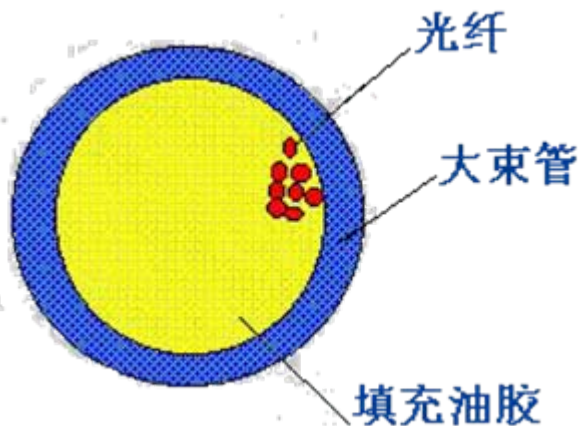
骨架式

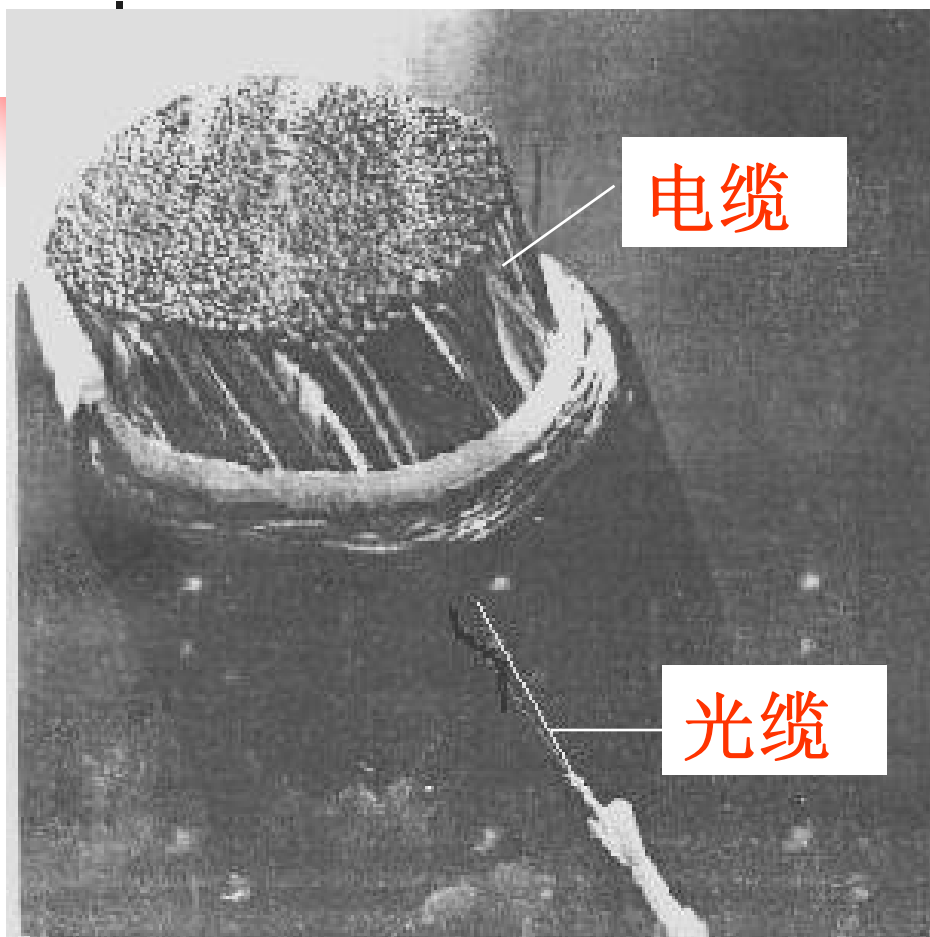


带式



大束管式





图中的细光缆和粗
电缆的通信容量相同

光纤通信容量大，
而且损耗小。

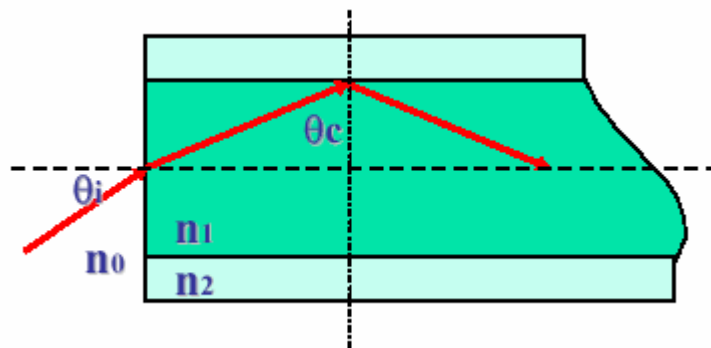
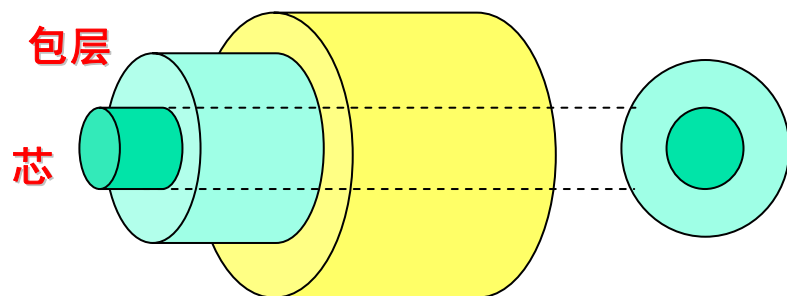
在不加中继站的情况下，光缆传输距离可达**300**公里。而同轴电缆只几公里，微波也只有几十公里。

我国电信的主干线
全部都采用光缆。

介质光波导

- 光纤是一种高度透明的玻璃丝，由纯石英经复杂工艺拉制而成
- 光纤：芯（Core）+ 同心圆状包裹层（包层Clad）+ 涂覆层
- 特点： $n_{\text{core}} > n_{\text{clad}}$ \Rightarrow 光在芯和包层之间的界面上反复进行全反射，并在光纤中传递下去

树脂被覆层



- 60年代，光纤损耗超过1000dB/km
- 1970年出现突破，光纤损耗降低到约20dB/km（1 μm 附近）
- 1979年，光纤损耗降到0.2dB/km（1.55 μm ） \rightarrow 开创了光纤通信时代
- 80年代，我国光纤引入

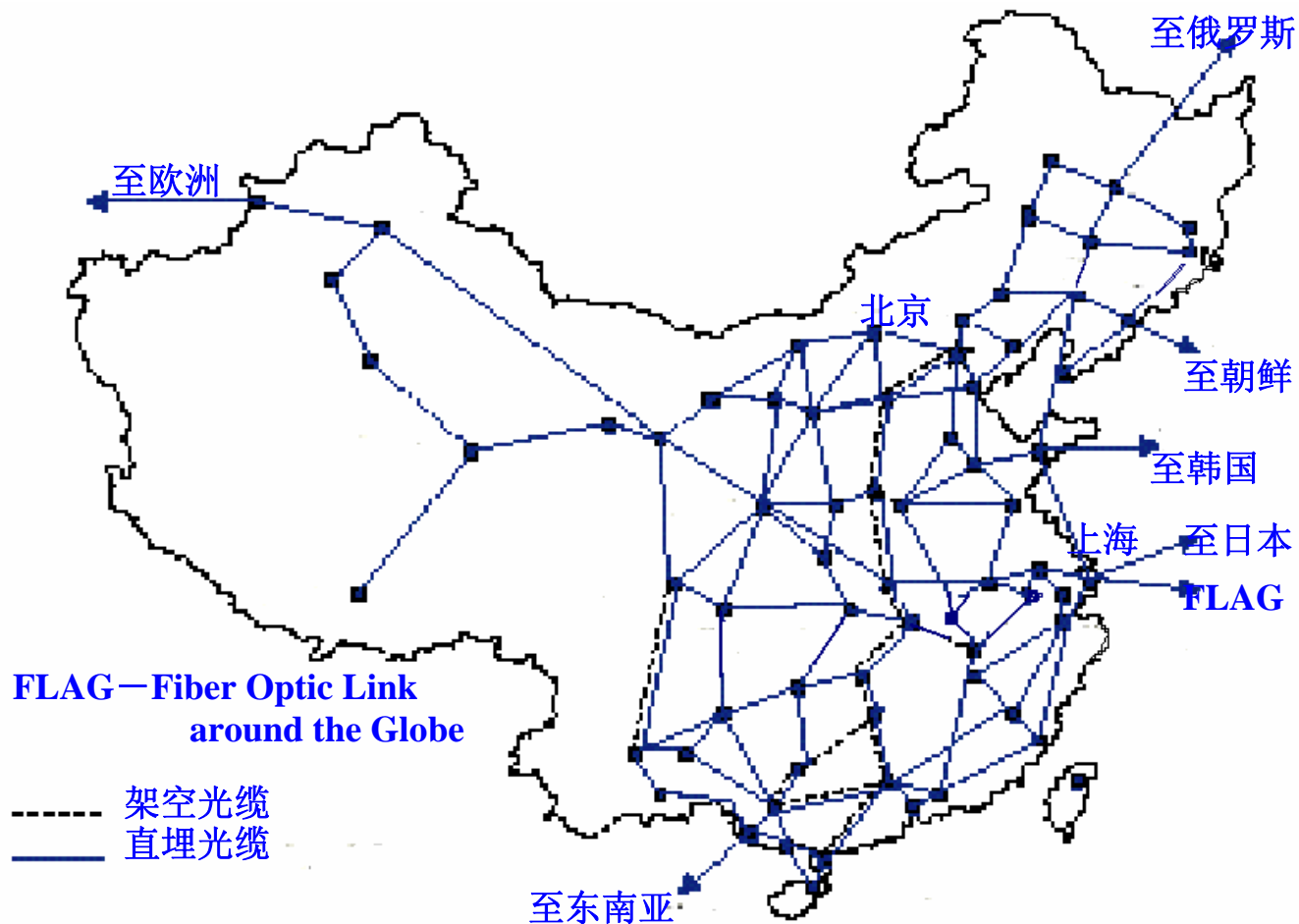


我国光纤通信的现状

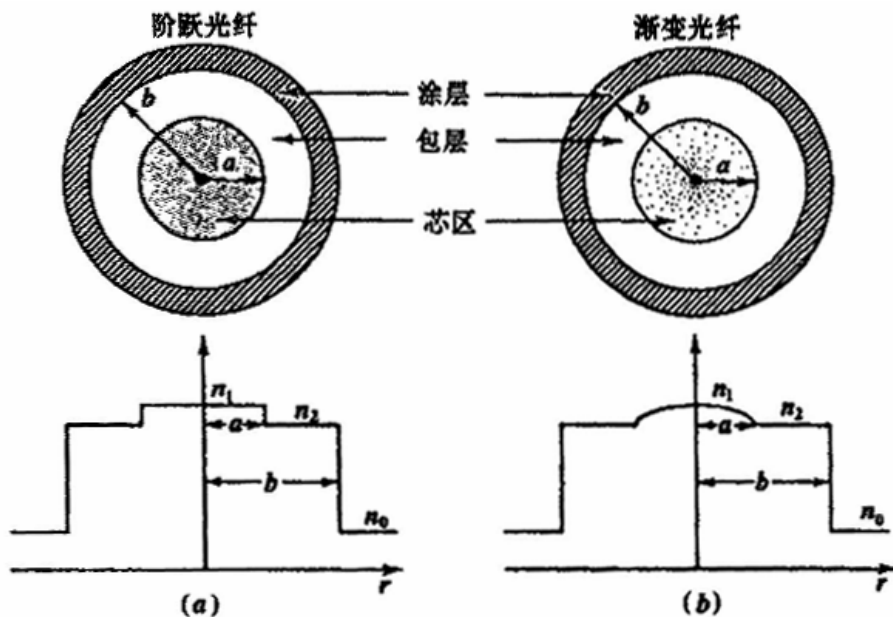
- 1986年建立了国内第一条光缆干线——宁汉光缆
- 1999年建成8纵8横光纤骨干网，覆盖了除台湾外所有省会城市和75%地市。
- 目前，我国长途骨干网的光缆长度达到了17万公里，并经中美、中日、中韩等海缆和欧亚大陆桥光缆与国际光缆网连接。
- 我国总的光缆线路总长度超过100万公里，居世界前列。

- 在光纤通信线路建设的同时，果断地将传输技术从正在广泛发展的PDH，跳越式地改用SDH (Synchronous Digital Hierarchy, 同步数字系列)。
- SDH传输技术的优越性有：1、SDH在传输高速信息时，比PDH更经济有效；2、其灵活的组网能力和强大的生存能力增加了网络性能；3、根据ITU-T制定的SDH标准，能构成统一的网络，允许不同厂家设备共用。
- 目前，我国99.8%的国家长途线路均采用SDH，已拥有世界上最大的基于SDH的光纤通信网路。

我国光缆骨干网分布图

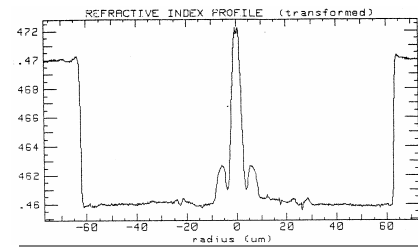


光纤芯区折射率径向分布

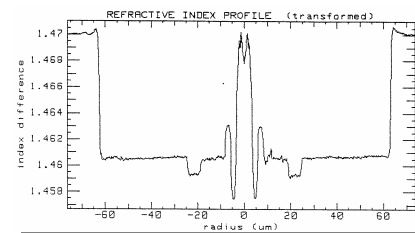


阶跃光纤(a)与渐变光纤(b)的横截面和折射率分布

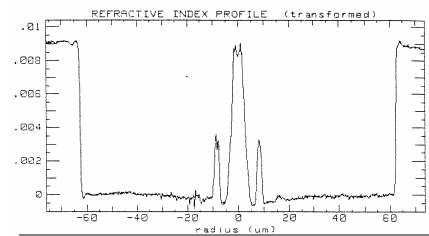
不同的折射率分布，传输特性完全不同



CORNING: LEAF

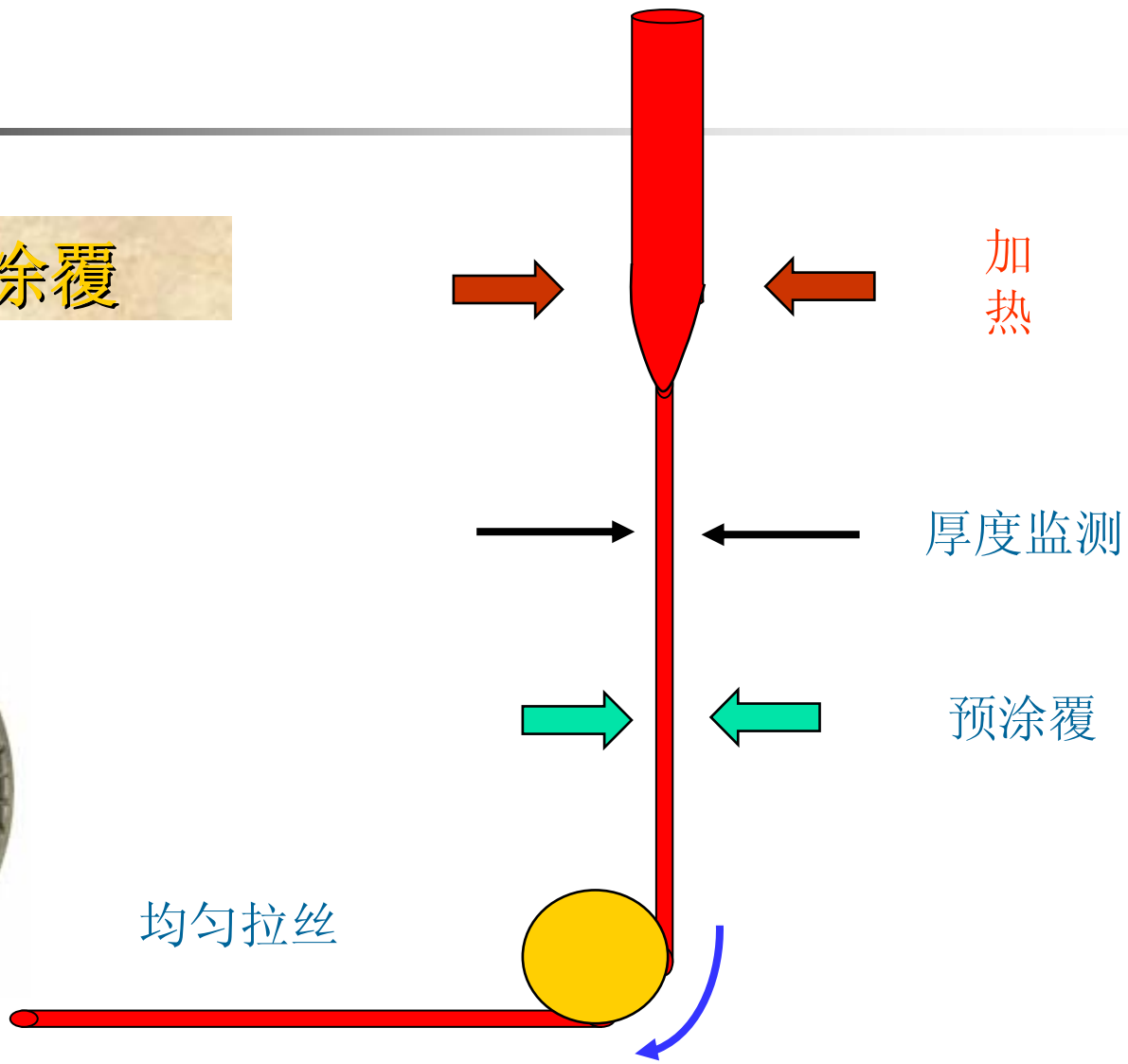


LUCENT: Truewave RS

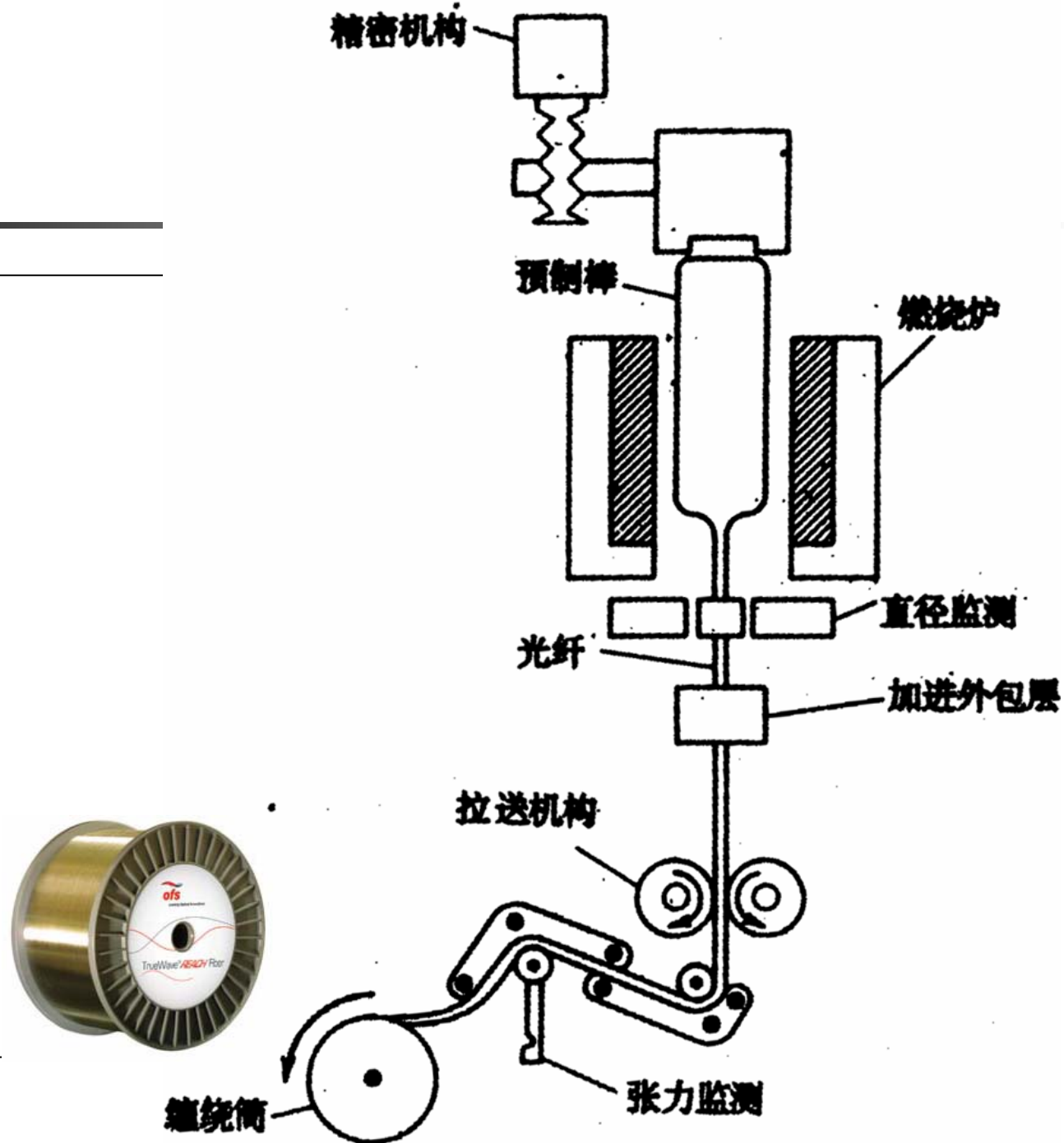


ALCATEL: TeraLight

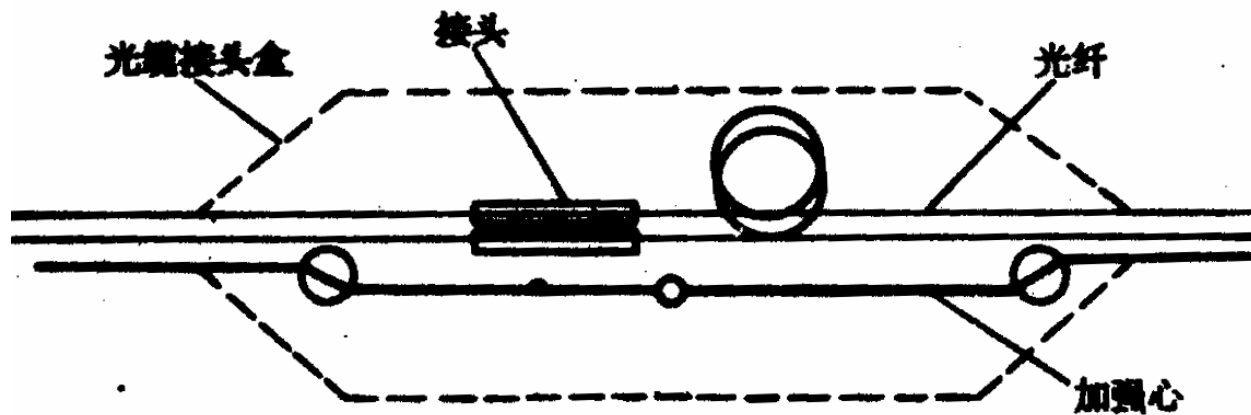
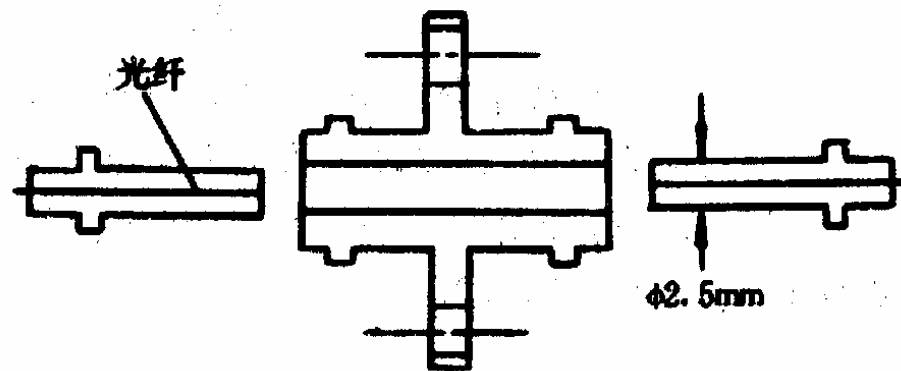
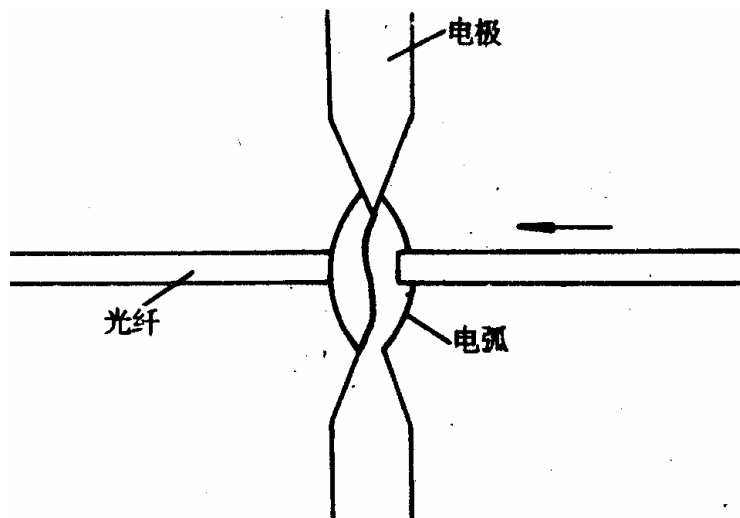
拉丝与涂覆



光纤的拉丝过程



■ 光纤的连接



光纤的传输特性

1. 损耗特性

损耗谱：光纤的损耗特性曲线

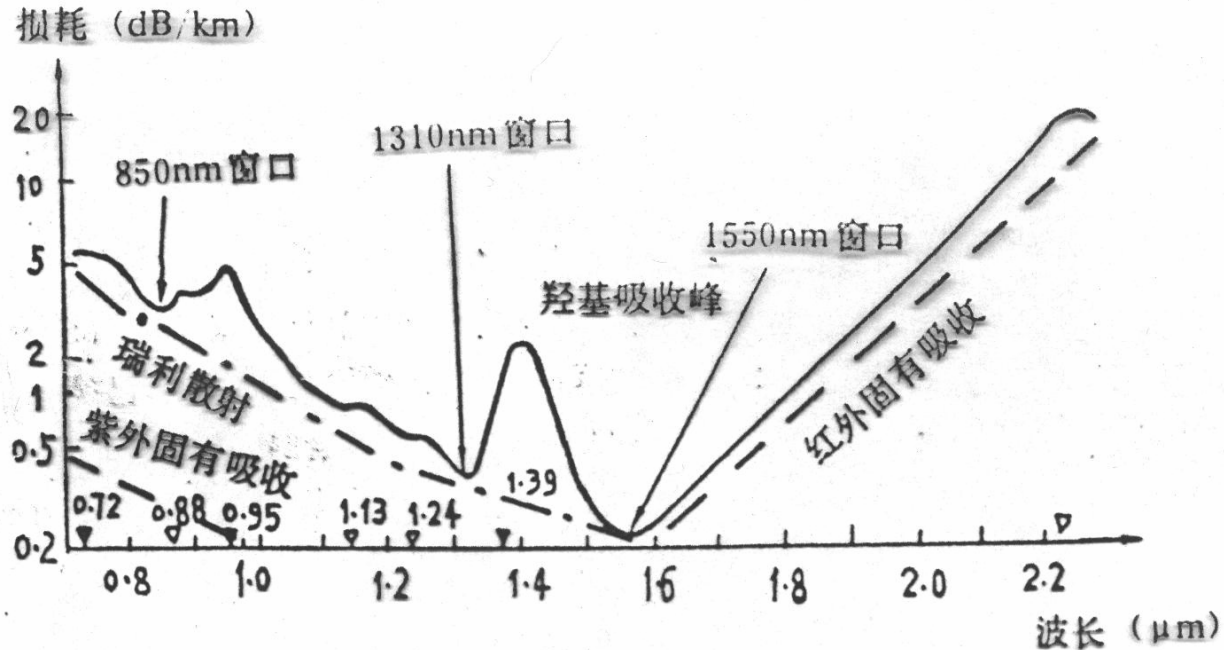


图1 光纤的损耗 波长特性

光纤的色散种类

a. 模式色散:

多模光纤中每种模式的群速度不同, 产生时延差。

b. 材料色散:

光纤材料的折射率随光的波长的不同而变化, 各种波长的光传播速度不同, 引起时延差。

c. 波导色散:

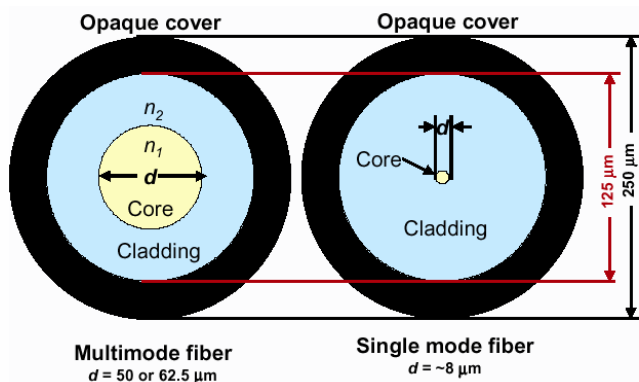
同一模式的光的相位常数随光的波长的不同而变化, 各种波长的光传播速度不同, 引起时延差。波导色散与折射率分布有关。

多模光纤: 模式色散占主要地位。

单模光纤: 材料色散和波导色散共同影响总色散。

光纤的分类

- 按照光纤传输模式的多少分: 单模光纤、多模光纤
- 按照光纤截面折射率分布分: 阶跃型光纤、梯度型光纤 (多模光纤)、双包层 (W型) 和 三角分布-色散位移光纤 (DSF G. 653), 非零色散位移光纤 (NZ-DSF G. 655)
- ITU-T标准光纤: 普通单模光纤 (G. 652: SMF)、色散位移光纤 (G. 653: DSF) 和 非零色散位移光纤 (G. 655: NZ-DSF)
- 特种光纤: 保偏 (PMF)、色散补偿 (DCF) 和 掺铒光纤 (EDF) 等





光纤的分类

国际电信联盟电信标准化部门ITU-T标准

- G.651—多模光纤
- G.652光纤—常规单模光纤，非色散位移光纤
- G.653光纤—色散位移单模光纤
- G.654光纤—截止波长位移单模光纤
- G.655光纤—非零色散位移光纤
- 色散补偿单模光纤

阶跃折射率光纤的波动理论

- 波动方程求解
- 传播条件
- 传播模式分析
- 截止条件及单模传输
- 色散
- 模式的简并



阶跃折射率光纤的波动理论求解 - 1

近似为无限厚

Wave equations

$$\nabla^2 \tilde{\mathbf{E}} + \omega^2 \mu \cdot \epsilon \tilde{\mathbf{E}} = 0$$

$$\tilde{\mathbf{E}}(r, \phi, z) = \tilde{\mathbf{E}}(r, \phi) \cdot \tilde{Z}(z)$$

$$\nabla_t^2 \tilde{\mathbf{E}}(r, \phi) + (\omega^2 \mu \epsilon + T^2) \cdot \tilde{\mathbf{E}}(r, \phi) = 0$$

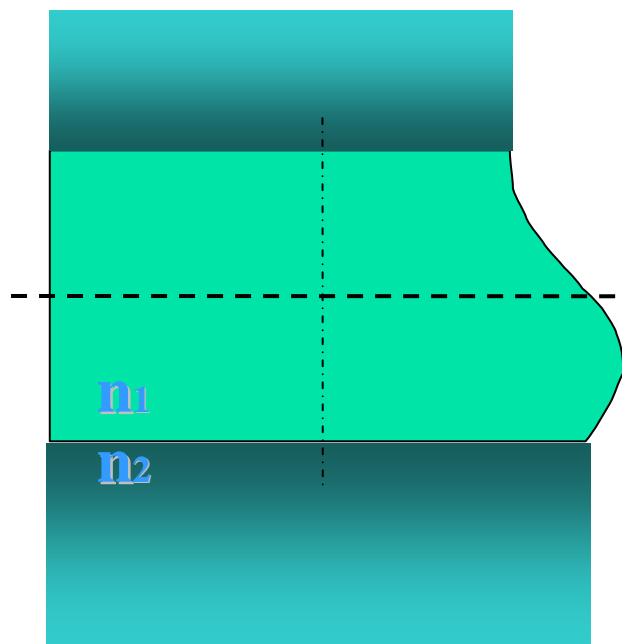
$$K_c^2 = \omega^2 \mu \cdot \epsilon + T^2 = k^2 + T^2$$

$$\tilde{\mathbf{E}}(r, \phi) = \{E_r(r, \phi), E_\phi(r, \phi), E_z(r, \phi)\} \longrightarrow \tilde{\mathbf{E}}$$

$$n(r) = \begin{cases} n_1 & r \leq a \\ n_2 & r > a \end{cases} \quad \nabla_t^2 \tilde{\mathbf{E}}(r, \phi) + K_c^2 \cdot \tilde{\mathbf{E}}(r, \phi) = 0 \Rightarrow \begin{cases} \nabla_t^2 \tilde{\mathbf{E}}_r + K_c^2 \cdot \tilde{\mathbf{E}}_r = 0 \\ \nabla_t^2 \tilde{\mathbf{E}}_\phi + K_c^2 \cdot \tilde{\mathbf{E}}_\phi = 0 \\ \nabla_t^2 \tilde{\mathbf{E}}_z + K_c^2 \cdot \tilde{\mathbf{E}}_z = 0 \end{cases}$$

阶跃折射率光纤的波动理论求解 - 2

First We want to get Ez or Hz:



$$\begin{cases} \nabla_t^2 \tilde{E}_z(r, \phi) + K_c^2 \cdot \tilde{E}_z(r, \phi) = 0 \\ \nabla_t^2 \tilde{H}_z(r, \phi) + K_c^2 \cdot \tilde{H}_z(r, \phi) = 0 \end{cases}$$

$$\nabla_t^2 \tilde{U}(r, \phi) + K_c^2 \cdot \tilde{U}(r, \phi) = 0 \quad \tilde{U}(r, \phi) = \tilde{R}(r) \cdot \tilde{\Phi}(\phi)$$

$$\frac{r}{R} \frac{dR}{dr} \left(r \cdot \frac{dR}{dr} \right) + K_c^2 \cdot r^2 = -\frac{1}{\Phi} \frac{d^2 \Phi}{d\phi^2} = \text{Constant} = i^2$$

$$\Phi_m(\phi) = A_m \sin(m\phi) + B_m \cos(m\phi) = \begin{matrix} \cos(m\phi) \\ \sin(m\phi) \end{matrix}$$

$$\Rightarrow \frac{d^2 R}{dr^2} + \frac{1}{r} \frac{dR}{dr} + \left(K_c^2 - \frac{m^2}{r^2} \right) R = 0$$

$$K_c^2 = \omega^2 \mu \epsilon + T^2 = k^2 - \beta^2$$

阶跃折射率光纤的波动理论求解 - 3

$$k_0^2 = \omega^2 \mu_0 \epsilon_0$$

$$\frac{d^2 R}{dr^2} + \frac{1}{r} \frac{dR}{dr} + \left(K_c^2 - \frac{m^2}{r^2} \right) R = 0$$

归一化相移常数 u

① $r \leq a$ 时, 引入 $u^2 = a^2 K_c^2$ 即 $u^2 = a^2 (n_1^2 k_0^2 - \beta^2)$

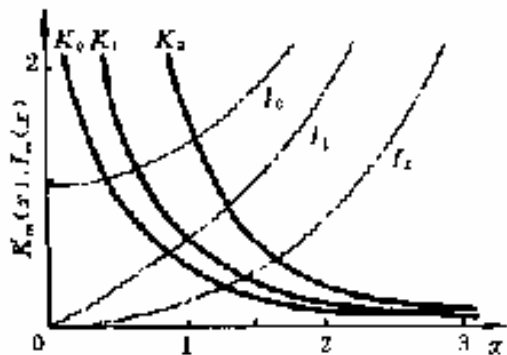
Bessel Function: $\frac{d^2 R}{dr^2} + \frac{1}{r} \frac{dR}{dr} + \left(\frac{u^2}{a^2} - \frac{m^2}{r^2} \right) R = 0$

$$R(r) = C_1 J_m(ur/a) + C_2 N_m(ur/a)$$

归一化衰减常数 w

$$n(r) = \begin{cases} n_1 = \sqrt{\epsilon_1 / \epsilon_0} & r \leq a \\ n_2 = \sqrt{\epsilon_2 / \epsilon_0} & r > a \end{cases}$$

② $r > a$ 时, 引入 $w^2 = -a^2 K_c^2$ 即 $w^2 = a^2 (\beta^2 - n_2^2 k_0^2)$



变态 Bessel Function: $\frac{d^2 R}{dr^2} + \frac{1}{r} \frac{dR}{dr} - \left(\frac{w^2}{a^2} + \frac{m^2}{r^2} \right) R = 0$

$$R(r) = D_1 I_m(wr/a) + D_2 K_m(wr/a)$$

$$r \rightarrow \infty \quad I_m(wr/a) \rightarrow \infty \quad K_m(wr) \rightarrow e^{-wr} \rightarrow 0$$

实际: 不存在

阶跃折射率光纤的波动理论求解 - 4

$$E_z(r, \phi) = \begin{cases} A_1 J_m(ur/a) \cos m\phi & r \leq a \\ A_2 K_m(wr/a) \cos m\phi & r > a \end{cases} \quad H_z(r, \phi) = \begin{cases} B_1 J_m(ur/a) \sin m\phi & r \leq a \\ B_2 K_m(wr/a) \sin m\phi & r > a \end{cases}$$

$$\begin{cases} \vec{E}_T = \frac{1}{K_c^2} \left(\frac{\partial}{\partial z} \nabla_T E_z + j\omega\mu\vec{\mathcal{E}} \times \nabla_T H_z \right) \\ \vec{H}_T = \frac{1}{K_c^2} \left(\frac{\partial}{\partial z} \nabla_T H_z - j\omega\vec{\mathcal{E}} \times \nabla_T E_z \right) \end{cases}$$

光纤芯径和包层场结构

$$\begin{aligned} E_r &= -\frac{j}{K_c^2} \left(\beta \frac{\partial E_z}{\partial r} + \frac{\omega\mu_0}{r} \frac{\partial H_z}{\partial \phi} \right) \\ E_\phi &= -\frac{j}{K_c^2} \left(\frac{\beta}{r} \frac{\partial E_z}{\partial \phi} - \omega\mu_0 \frac{\partial H_z}{\partial r} \right) \\ H_r &= -\frac{j}{K_c^2} \left(\beta \frac{\partial H_z}{\partial r} - \frac{\omega\varepsilon}{r} \frac{\partial E_z}{\partial \phi} \right) \\ H_\phi &= -\frac{j}{K_c^2} \left(\frac{\beta}{r} \frac{\partial H_z}{\partial \phi} + \omega\varepsilon \frac{\partial E_z}{\partial r} \right) \end{aligned}$$

两种无损介质分界面没有自由电荷和面电流

$$\vec{n} \times (\vec{E}_1 - \vec{E}_2) = 0 \rightarrow E_{1t} = E_{2t}$$

$$\vec{n} \times (\vec{H}_1 - \vec{H}_2) = \vec{J}_s = 0 \rightarrow H_{1t} = H_{2t}$$

$$\begin{cases} E_{z1} = E_{z2} \\ E_{\phi1} = E_{\phi2} \end{cases} \quad \begin{cases} H_{z1} = H_{z2} \\ H_{\phi1} = H_{\phi2} \end{cases}$$

$$\left[\frac{J'_m(u)}{uJ_m(u)} + \frac{K'_m(w)}{wK_m(w)} \right] \cdot \left[n_1^2 \frac{J'_m(u)}{uJ_m(u)} + n_2^2 \frac{K'_m(w)}{wK_m(w)} \right] = \left(\frac{\beta m}{k_0} \right)^2 \left(\frac{1}{u^2} + \frac{1}{w^2} \right)$$

传输模式方程

阶跃折射率光纤中模式分析

传输模特性方程

$$\left[\frac{J'_m(u)}{uJ_m(u)} + \frac{K'_m(w)}{wK_m(w)} \right] \cdot \left[n_1^2 \frac{J'_m(u)}{uJ_m(u)} + n_2^2 \frac{K'_m(w)}{wK_m(w)} \right] = \left(\frac{\beta m}{k_0} \right)^2 \left(\frac{1}{u^2} + \frac{1}{w^2} \right)$$

其中

$$k_0^2 = \omega^2 \mu_0 \epsilon_0$$

$$u^2 = a^2 (n_1^2 k_0^2 - \beta^2)$$

$$w^2 = a^2 (\beta^2 - n_2^2 k_0^2)$$

给定 $n_1, n_2, a, \omega(k_0)$ $\Rightarrow \beta_{mn}$ \Rightarrow 对应模式

- 模式：每一个传输常数对应着一种可能的光场分布
- 对每个 m ，都存在多个解 - 记为 β_{mn} 。每个 β_{mn} 对应于一个光场分布。
- 对应于每组 (mn) ，本征方程又包含两组解，两组解的 E_z 和 H_z 相对值不同：

混合模：场的六个分量都存在

- $m > 0$
- 当 $H_z > E_z$ ，称为 HE_{mn} 模
 - 当 $H_z < E_z$ ，称为 EH_{mn} 模

$m = 0 \Rightarrow$

$\begin{cases} E_{z1} = 0 \\ E_{z2} = 0 \end{cases}$	$\frac{J_1(u)}{uJ_0(u)} + \frac{K_1(w)}{wK_0(w)} = 0$	TE _{0n} 模
$\begin{cases} H_{z1} = 0 \\ H_{z2} = 0 \end{cases}$	$n_1^2 \frac{J_1(u)}{uJ_0(u)} + n_2^2 \frac{K_1(w)}{wK_0(w)} = 0$	TM _{0n} 模

阶跃折射率光纤中传播条件

传输模特性方程

$$\left[\frac{J'_m(u)}{uJ_m(u)} + \frac{K'_m(w)}{wK_m(w)} \right] \cdot \left[n_1^2 \frac{J'_m(u)}{uJ_m(u)} + n_2^2 \frac{K'_m(w)}{wK_m(w)} \right] = \left(\frac{\beta m}{k_0} \right)^2 \left(\frac{1}{u^2} + \frac{1}{w^2} \right)$$

其中 $k_0^2 = \omega^2 \mu_0 \epsilon_0$

$u^2 = a^2(n_1^2 k_0^2 - \beta^2)$ $w^2 = a^2(\beta^2 - n_2^2 k_0^2)$

给定 $n_1, n_2, a, \omega(k_0)$ \Rightarrow β_{mn} \Rightarrow 对应模式

$$E_z(r, \phi) = \begin{cases} A_1 J_m(ur/a) \cos m\phi & r \leq a \\ A_2 K_m(wr/a) \cos m\phi & r > a \end{cases}$$

考虑 $u^2 = a^2 K_c^2$ 纤芯中 u 为实数 $\beta \leq k_0 n_1$

否则对应 K_c 为虚数, 波长也为虚数

$wr \rightarrow \infty$ 时, $K_m(wr) \rightarrow e^{-wr} \rightarrow 0$ $w > 0, \beta > k_0 n_2$

传输条件: $u^2 > 0 \rightarrow k_0 n_2 < \beta < k_0 n_1$

截止、传输临界条件: $w = 0 \rightarrow k_0 n_2 = \beta$

为虚数时,
包层电磁场
沿 r 方向为
辐射状态

$w < 0$,
辐射
状态

不能沿 z 方向传输

弱导近似下光纤中各种模式的截止条件-1

弱导近似: $\Delta \approx (n_1 - n_2) / n_1 \ll 1, n_1 \approx n_2$

$$u^2 = a^2(n_1^2 k_0^2 - \beta^2)$$

特征方程近似为

$$\frac{J_1(u)}{uJ_0(u)} + \frac{K_1(w)}{wK_0(w)} = 0$$

推出截止条件

$$J_0(u) = 0$$

解为

$$u_{01} = 2.4048 \quad u_{02} = 5.5201 \quad \dots$$

对应 $TE(M)_{01}$ $TE(M)_{02}$ 的截止条件

TE_{0n} 模和 TM_{0n} 模:

EH_{mn} 模:

$$J_m(u) = 0, u > 0$$

$$u_{11} = 3.8317 \quad u_{21} = 5.1356 \quad \dots$$

截止波长无穷大, 截止频率为0 → 主模

HE_{mn} 模: $\begin{cases} HE_{1n} \text{ 模 } (m=1) \\ HE_{mn} \text{ 模 } (m>1) \end{cases}$

$$J_1(u) = 0$$

$$u_{11} = 0$$

$$u_{12} = 3.8317 \quad \dots$$

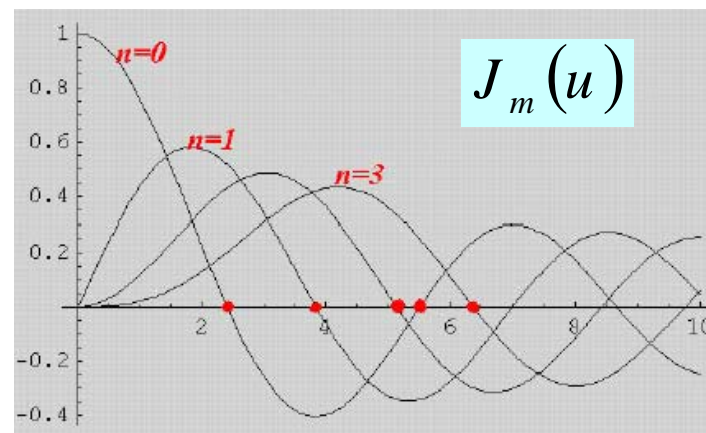
HE_{mn} 模 ($m>1$)

$$J_{m-2}(u) = 0, u > 0$$

$$u_{01} = 2.4048$$

$$u_{02} = 5.5201$$

...



弱导近似下光纤中各种模式的截止条件-2

$$\begin{cases} u^2 = a^2(n_1^2 k_0^2 - \beta^2) \\ w^2 = a^2(\beta^2 - n_2^2 k_0^2) \end{cases} \quad n_1, n_2, a, \omega(k_0) \quad \Rightarrow \quad \beta_{mn}$$

截止波长

截止条件: $w = 0 \rightarrow k_0 n_2 = \beta \Rightarrow u_c^2 = a^2(n_1^2 k_c^2 - n_2^2 k_c^2) \Rightarrow \lambda_c = 2\pi / k_c$

归一化频率 $V = \sqrt{u^2 + w^2} = \frac{2\pi a}{\lambda_0} \sqrt{n_1^2 - n_2^2} \approx \frac{2\pi a}{\lambda_0} n_1 \sqrt{2\Delta}$

弱导近似时

截止条件下 ($w = 0$) $V_c = u_c = \frac{2\pi a}{\lambda_c} \sqrt{n_1^2 - n_2^2} \approx \frac{2\pi a}{\lambda_c} n_1 \sqrt{2\Delta}$

传输条件

$$V > V_c = u_c \approx \frac{2\pi a}{\lambda_c} n_1 \sqrt{2\Delta}$$

TE₀₁、
TM₀₁和
HE₂₁模

截止条件

HE₁₁模

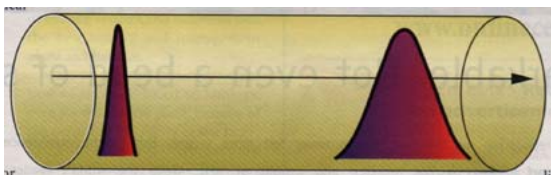
$$u_c = 0$$

单模传输条件:

$$0 < V = \frac{2\pi a}{\lambda_0} \sqrt{n_1^2 - n_2^2} \approx \frac{2\pi a}{\lambda_0} n_1 \sqrt{2\Delta} < 2.4048$$

阶跃折射率光纤的色散

光纤色散：光信号中的不同频率分量的传播速度不同，而引起信号失真



Chromatic dispersion causes different wavelengths of a light pulse to travel at different speeds in fiber, resulting in pulse spreading

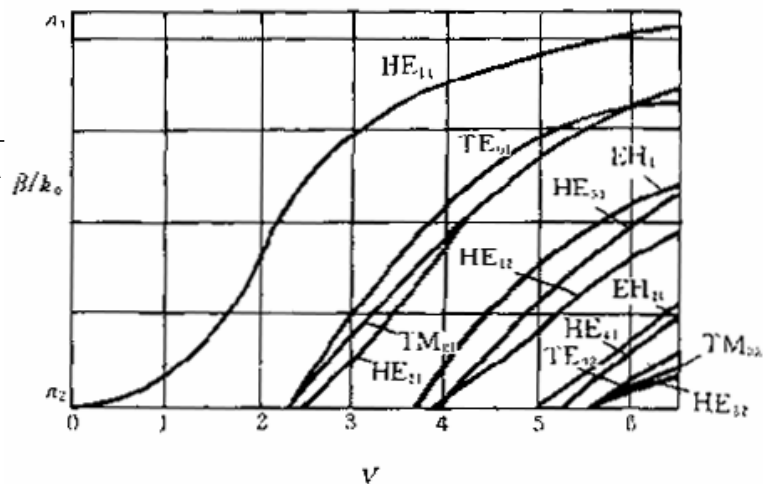
$$\begin{cases} u^2 = a^2(n_1^2 k_0^2 - \beta^2) \\ w^2 = a^2(\beta^2 - n_2^2 k_0^2) \end{cases} \quad n_1, n_2, a, \omega(k_0) \Rightarrow \beta_{mn}$$

$$V = \sqrt{u^2 + w^2} = \frac{2\pi a}{\lambda_0} \sqrt{n_1^2 - n_2^2} \approx \frac{2\pi a}{\lambda_0} n_1 \sqrt{2\Delta}$$

$$v_p = \omega / \beta$$

色散类型

- 模内色散：材料色散 $n(\lambda)$ 、波导色散 $\beta(\lambda)$
- 模间色散（仅多模光纤）
- 偏振模色散



弱导近似下光纤中模式的简并

弱导近似:

$$\Delta \approx (n_1 - n_2) / n_1 \ll 1, n_1 \approx n_2$$

➡ E_z 和 H_z 都很小（远小于横向分量：准TEM波），TE_{0n}、TH_{0n}和HE_{2n}三类、HE_{m+1, n}和EH_{m-1, n} 两类具有相同的传播常数 - 简并，用LP_{m_n}表示

➡ 简并模（横向分量场）线性叠加后具有线偏振性，故又称LP模为线偏振模（**linearly Polarized Mode**）

➡ 弱导近似下的近似处理，实际并不存在，简化分析

LP 模	对应模	电场分布	E_x 的强度分布
LP ₀₁	HE ₁₁		
LP ₁₁	TE ₀₁		
	TM ₀₁		
	HE ₂₁		
LP ₂₁	EH ₁₁		
	HE ₃₁		